

一种获得剪切模量压强二阶偏导数 G_p'' 的方法

华劲松 经福谦 谭 华

(中国工程物理研究院流体物理研究所冲击波物理与爆轰物理实验室 绵阳 919 信箱 111 分箱 绵阳 621900)

(2000 年 3 月 15 日收到, 2000 年 7 月 16 日收到修改稿)

从晶格材料的电子结构理论出发, 推导了一个计算剪切模量 G 的压强二阶偏导数 G_p'' 的方法. 针对 93 钨合金材料计算得到 $G_p'' = -0.033\text{GPa}^{-1}$. 把这一结果用于 Birch-Murnaghan 有限应变理论的计算, 并与 $G_p'' = 0$ 的计算结果进行了比较. 结果表明, $G_p'' = 0$ 的计算结果明显高于 $G_p'' \neq 0$ 的计算结果, 在压强较高时, 二者结果相差较大. 因此, 在高压下, 必须考虑 G_p'' 带来的影响.

关键词: 剪切模量, 压强二阶偏导数, 钨合金, 物态方程, 有限应变理论

PACC: 6220

1 引 言

物态方程是描述物质系统中各状态变量之间关系的一个函数表达式^[1], 用来表达在一定热力学条件下物质的形态, 它对于研究材料在动高压下的动态特性是十分重要的. 物态方程的形式有多种, 如 Birch-Murnaghan 物态方程、格临爱森物态方程、混合物物态方程和多孔材料物态方程等^[2-4]. 其中, Birch-Murnaghan 物态方程是经常使用的一种物态方程, 在使用这个物态方程时, 要涉及到许多物理参量, 其中就有一个是剪切模量的压强二阶偏导数 G_p'' . 这个量是一个二阶小量, 用实验测量是十分困难的. 因此, 在通常的计算当中, 一般把 G_p'' 取为零值. 但这样做会对计算结果带来多大的误差? 如果有误差, 那么又怎样获得 G_p'' 的值? 对于这些问题, 目前尚未见有关的系统分析讨论的报道.

本文针对以上这些问题, 从晶格材料的电子结构理论出发, 从剪切模量的一个理论计算式, 推导出了一个从理论上计算剪切模量的压强二阶偏导数 G_p'' 的方法, 并针对钨合金材料进行了实际计算, 并将这一计算结果与 G_p'' 取为零值的计算结果进行了比较, 发现在高压下, G_p'' 是不能忽略的小量.

2 Birch-Murnaghan 物态方程

由 Birch^[5]得到的有限应变理论是较为广泛应用的表示压强、密度及弹性模量之间关系的方程. 它

的具体形式是定义一个 Eulerian 应变 f ,

$$f = \frac{1}{2}[(\rho/\rho_0)^{2/3} - 1],$$

则归一化的压强 F 为 $F = \frac{P}{3f(1+2f)^{5/2}}$, 其中 P 为等熵压强.

在 F - f 坐标系中, 利用级数开展的方法, 可以得到四阶的 Birch-Murnaghan 方程为

$$F = a_0 + a_1f + a_2f^2,$$

其中的系数分别为

$$a_0 = K_{0s}, a_1 = \frac{3K_{0s}}{2}(K'_{0s} - 4),$$

$$a_2 = \frac{3K_{0s}}{2} \left[K_{0s}K''_{0s} + K'_{0s}(K'_{0s} - 7) + \frac{143}{9} \right],$$

其中 K_{0s} , K'_{0s} , K''_{0s} 分别表示零压下的绝热体积模量及其对压强的一阶和二阶偏导数. 这个公式对于拟合压力与体积数据是特别方便的, 因为它把非线性的 Birch-Murnaghan 方程简化为应变的平方形式. 且 K'_{0s} , K''_{0s} 有如下关系^[6]:

$$K''_{0s} = \frac{K'_{0s}(7 - K'_{0s}) - \frac{143}{9}}{K_{0s}}.$$

以同样的方法, 通过引入归一化的弹性模量, 声速也可以表达成应变的多项式形式.

$$M_L = \frac{C_L}{(1+2f)^{5/2}} = \frac{\rho V_P^2}{(1+2f)^{5/2}},$$

$$M_K = \frac{K_S}{(1+2f)^{5/2}} = \frac{\rho V_B^2}{(1+2f)^{5/2}},$$

$$M_G = \frac{G}{(1+2f)^{5/2}} = \frac{\rho V_S^2}{(1+2f)^{5/2}},$$

其中 C_L, K_S, G 分别表示等熵条件下的纵向模量、体积模量及剪切模量. 且有

$$C_L = K_S + \frac{4}{3}G,$$

M_L, M_K, M_G 分别表示归一化的纵向模量、体积模量及剪切模量, V_P, V_B, V_S 分别表示纵波声速、体积声速及横波声速. 将归一化的这些模量展开至有限应变的四阶项有

$$M_L = a_{L_0} + a_{L_1}f + a_{L_2}f^2,$$

$$M_K = a_{K_0} + a_{K_1}f + a_{K_2}f^2,$$

$$M_G = a_{G_0} + a_{G_1}f + a_{G_2}f^2,$$

其中的各系数项的计算式分别为

$$a_{L_0} = K_{0S} + \frac{4}{3}G_0,$$

$$a_{L_1} = 3K_{0S} \left(K'_{0S} + \frac{4}{3}G'_0 \right) - 5 \left(K_{0S} + \frac{4}{3}G_0 \right),$$

$$a_{L_2} = \frac{9}{2}K_{0S}^2 \left(K''_{0S} + \frac{4}{3}G''_0 \right) + \frac{9}{2}K_{0S} \left(K'_{0S} - 4 \left(K'_{0S} + \frac{4}{3}G'_0 \right) \right) + \frac{35}{2} \left(K_{0S} + \frac{4}{3}G_0 \right),$$

$$a_{K_0} = K_{0S}, a_{K_1} = 3K_{0S}K'_{0S} - 5K_{0S},$$

$$a_{K_2} = \frac{9}{2} \left[K_{0S}^2 \left(K''_{0S} + (K'_{0S} - 4) \frac{K'_{0S}}{K_{0S}} \right) + \frac{35K_{0S}}{9} \right],$$

$$a_{G_0} = G_0, a_{G_1} = 3K_{0S}G'_0 - 5G_0,$$

$$a_{G_2} = \frac{9}{2} \left[K_{0S}^2 \left(G''_0 + (K'_{0S} - 4) \frac{G'_0}{K_{0S}} \right) + \frac{35G_0}{9} \right].$$

由此可见,只要知道了一些相关系数值,从有限应变理论可以得到材料在等熵条件下的许多弹性力学参量.从以上的这些公式我们发现,绝大多数参数是已知的或是从超声测量实验可以得到的,但唯有一个参数是未知的,即剪切模量对压强的二阶偏导数 G''_{0P} ,为此需要找到一个计算 G''_{0P} 的方法.

3 剪切模量 G 的压强二阶偏导数 G''_{0P} 的计算

如何计算 G''_{0P} 是一件十分复杂的事,但我们发现 Straub^[7]曾提出了一个从电子结构理论出发的计算晶体材料剪切模量 G 的理论方法.但他未讨论过如何计算 G''_{0P} .为此,我们将利用这一理论方法来估算 G''_{0P} .

将剪切模量 G 看作晶格常量 a 的函数,可以得到一个计算剪切模量的理论计算式

$$G = G_0 + \frac{g_1(a - a_0)}{a^2} e^{-g_2(a - a_0)},$$

其中 a_0, g_1, g_2 为拟合常数.

将上式对 a 分别求一阶和二阶偏导数有

$$\frac{\partial G}{\partial a} = \frac{g_1(a - a_0)}{a^2} e^{-g_2(a - a_0)} (-g_2) + g_1 e^{-g_2(a - a_0)} \frac{a^2 - 2a(a - a_0)}{a^4},$$

$$\frac{\partial^2 G}{\partial a^2} = -\frac{a^3 [g_1 g_2 (2a - a_0) + g_1] - 3a^2 [g_1 g_2 (a^2 - aa_0) + g_1(a - 2a_0)]}{a^6} e^{-g_2(a - a_0)} - \frac{g_1 g_2 (a^2 - aa_0) + g_1(a - 2a_0)}{a^3} e^{-g_2(a - a_0)} (-g_2).$$

当 $a = a_0$ 时有

$$\left. \frac{\partial G}{\partial a} \right|_{a_0} = \frac{g_1}{a_0^2},$$

$$\left. \frac{\partial^2 G}{\partial a^2} \right|_{a_0} = -\frac{2g_1}{a_0} \left(g_2 + \frac{2}{a_0} \right).$$

引入一个参量

$$X_0 = \left. \frac{\partial \log G}{\partial \log \rho} \right|_0 = \left. \frac{K_0 \partial G}{G_0 \partial P} \right|_0,$$

其中 K_0 为零压体积模量, G 是剪切模量, ρ 为材料密度, G_0 为初始剪切模量. 根据上式假设在 $a \approx a_0$

时,有 $G \propto \rho X_0$, 而 $\rho \propto a^{-3}$, 则有 $G \propto a^{-3X_0}$, 进而又有

$$\left. \frac{\partial G}{\partial a} \right|_{a_0} = -\frac{3X_0 G_0}{a_0} = \frac{g_1}{a_0^2},$$

$$\left. \frac{\partial^2 G}{\partial a^2} \right|_{a_0} = \frac{3X_0 G_0}{a_0^2} (1 + 3X_0) = -\frac{2g_1}{a_0^2} \left(g_2 + \frac{2}{a_0} \right).$$

联立解上述两个方程可以得到

$$g_1 = -3a_0 G_0 X_0, g_2 = \frac{3(X_0 - 1)}{2a_0}.$$

假设我们研究的材料为立方晶系,结构为体心

立方, 则晶格常量 a 与密度 ρ 之间有如下关系:

$$\frac{\text{比容}}{\text{单位质量}} = V = \frac{1}{\rho} = \frac{a^3}{\xi \text{Atw}/N_0},$$

其中 Atw 是原子量, 对于 W 原子量为 184, ξ 是单位晶胞中的原子数, N_0 为阿佛加德罗常量, $N_0 = 6.023 \times 10^{23}/\text{mol}$. 如果密度是以 g/cm^3 为单位, 则

$$a^3 = a^2 11.21 \xi \text{Atw}/\rho.$$

这里 a 为玻尔半径, $a = 0.529167 \times 10^{-8} \text{cm}$.

这样, 可以利用上面这些参量来估算 G''_{0P} . 在估算 G''_{0P} 之前, 还要首先估算 G'_{0P} , 具体的计算方法如下:

$$\frac{\partial G}{\partial P} = \frac{\partial G}{\partial a} \frac{\partial a}{\partial P},$$

其中 $\frac{\partial G}{\partial a}$ 可直接从 G 与 a 的关系式求得, 而 $\frac{\partial a}{\partial P}$ 可以从关系式 $a^3 = V\xi$ 出发, 对 P 求导并利用关系式 $K = -V \frac{\partial P}{\partial V}$ 求得为

$$\frac{\partial a}{\partial P} = \frac{\xi}{3a^2} \left(-\frac{V}{K} \right),$$

$$\begin{aligned} \frac{\partial G}{\partial P} = & \left(\frac{g_1(a - a_0)}{a^2} e^{-g_2(a - a_0)} (g_2 - g_1) \right. \\ & \left. + g_1 e^{-g_2(a - a_0)} \frac{a^2 - 2a(a - a_0)}{a^4} \right) \left(\frac{\xi}{3a^2} \left(-\frac{V}{K} \right) \right). \end{aligned}$$

当 $a = a_0$ 时有

$$\left. \frac{\partial G}{\partial P} \right|_0 = \frac{g_1}{a_0^2} \frac{2}{3a_0^2} \left(-\frac{a_0^3}{2K_0} \right) = -\frac{g_1}{3K_0} \frac{1}{a_0}.$$

这样可得到如下关系式:

$$\frac{\partial^2 G}{\partial P^2} = \frac{\partial^2 G}{\partial a^2} \left(\frac{\partial a}{\partial P} \right)^2 + \frac{\partial G}{\partial a} \frac{\partial^2 a}{\partial P^2},$$

而

$$\begin{aligned} \frac{\partial^2 a}{\partial P^2} = & -\frac{\partial}{\partial P} \left(\frac{V}{K} \right) \frac{\xi}{3a^2} - \frac{V}{3K^2} \xi \frac{\partial}{\partial P} \left(\frac{1}{a^2} \right) \\ = & -\frac{\xi}{3a^2} \frac{V \frac{\partial K}{\partial P} - K \frac{\partial V}{\partial P}}{K^2} - \frac{V\xi}{3K} \frac{-2a}{a^4} \frac{\partial a}{\partial P} \\ = & -\frac{\xi}{3a^2} \frac{V \left(1 + \frac{\partial K}{\partial P} \right)}{K^2} - \frac{V^2 \xi^2}{3K^2} \frac{2}{3a^5}. \end{aligned}$$

将有关的式子一并代入 $\frac{\partial^2 G}{\partial P^2}$ 的计算式中, 并考虑到

在 $a = a_0$ 时, 则有

$$\begin{aligned} \left. \frac{\partial^2 G}{\partial P^2} \right|_{a_0} = & \frac{2g_1}{a_0} \left(g_2 + \frac{2}{a_0} \right) \left(\frac{V_0}{K_0} \right) \frac{\xi}{3a_0^2} \\ & - \frac{g_1}{a_0^2} \left[-\frac{\xi}{3a_0^2} \frac{V_0^2 \left(1 + \frac{\partial K}{\partial P} \right)_0}{K_0^2} + \frac{V_0^2 \xi^2}{3K_0^2} \frac{1}{3a_0^5} \right]. \end{aligned}$$

这样我们就得到了一个计算剪切模量 G 的压强二阶偏导数 G''_P 的方法.

4 针对 93 钨合金的计算结果及与 $G''_P = 0$ 的计算结果的比较

以上我们得到了一个计算剪切模量 G 的压力二阶偏导数 G''_P 的方法, 下面就这一方法的实际应用, 我们选择 93 钨合金材料作为研究对象, 对于 93 钨合金, 它的一些材料参量为^[8]

$$\begin{aligned} \rho_0 = & 16.96 \text{ g}/\text{cm}^3, \quad K_0 = 270 \text{ GPa}, \quad \xi = 2, \\ G_0 = & 132 \text{ GPa}, \quad G'_P = 1.794, \quad K'_P = 4.108, \\ C_0 = & 4.01 \text{ km}/\text{s}, \quad \lambda = 1.277, \end{aligned}$$

其中 C_0, λ 为材料的 Hugoniot 击波速度关系式^[9] $D = C_0 + \lambda u$ 中的两个系数. 代入以上有关公式得到的中间结果为

$$X_0 = 3.67, \quad a_0 = 3.4 \times 10^{-8} \text{ cm},$$

$$g_1 = -93.02 \times 10^{11} \text{ Pa} - a, \quad g_2 = 0.6453(1/a).$$

最后得到的针对 93 钨合金材料的剪切模量 G 的压强二阶偏导数 G''_P 的计算结果为

$$G''_P = -0.033 \text{ GPa}^{-1}.$$

知道 G''_P 以后, 就可以进行 Birch 有限应变理论的计算. 在这里限于篇幅, 我们只计算三个参量, 即纵波声速、横波声速和剪切模量. 计算结果分别示于图 1,

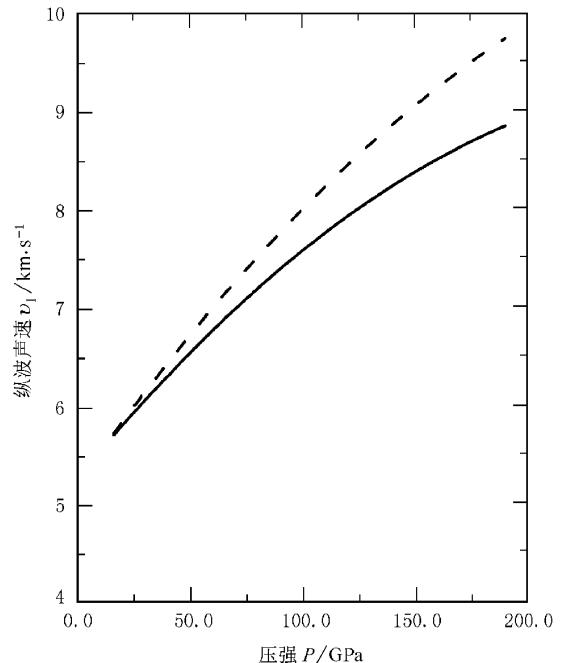


图 1 $G''_P = -0.033 \text{ GPa}^{-1}$ (实线) 与 $G''_P = 0$ (虚线) 时的纵波声速 v_l 的计算结果比较

图 2 和图 3 中. 为了便于分析比较, 也计算了当 $G_p'' = 0$ 时的情况, 计算结果一并示于相应的图中.

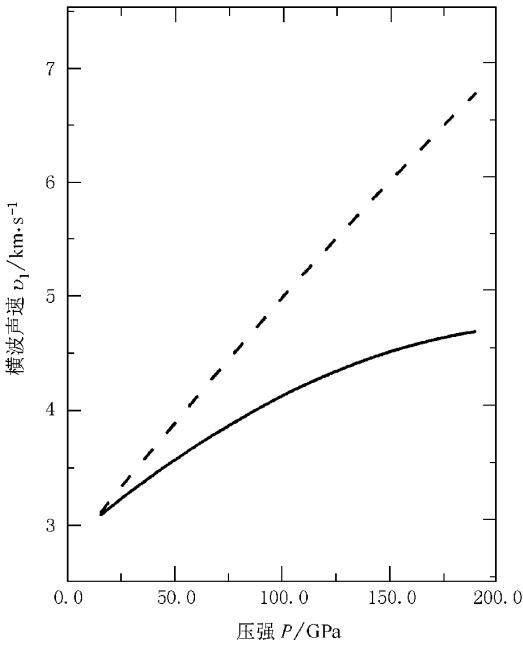


图 2 $G_p'' = -0.033 \text{ GPa}^{-1}$ (实线) 与 $G_p'' = 0$ (虚线) 时的横波声速 v_t 的计算结果比较

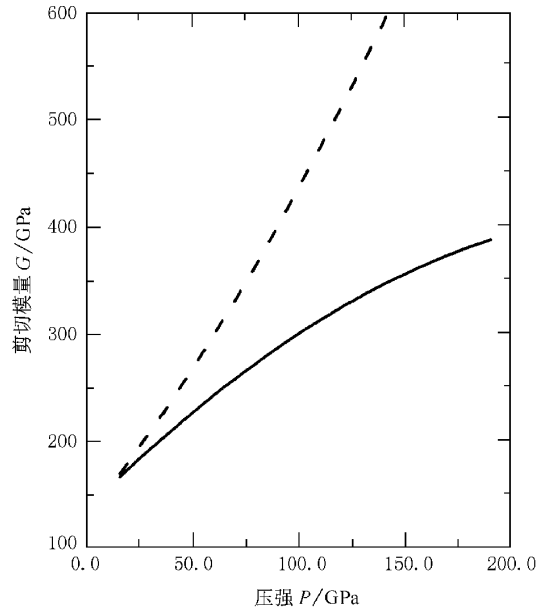


图 3 $G_p'' = -0.033 \text{ GPa}^{-1}$ (实线) 与 $G_p'' = 0$ (虚线) 时的剪切模量 G 的计算结果比较

5 结果分析与讨论

从以上三个图的计算结果的比较可以得到以下的两点认识:

1. 考虑 G_p'' 影响的计算结果明显低于不考虑 G_p'' 的计算结果. 特别是对横波声速和剪切模量的变化影响更大, 对此结果, 我们可做如下分析, 假设不考虑 G_p'' 影响的剪切模量为 G_1 , 横波声速为 G_{t1} , 考虑 G_p'' 影响的剪切模量为 G_2 , 横波声速为 G_{t2} . 根据剪切模量 $G = \rho C_t^2$, 并假设两种状态压缩到同一密度 ρ , 则两种情况下的剪切模量之差有

$$G_1 - G_2 = \rho C_{t1}^2 - \rho C_{t2}^2 = \rho (C_{t1} - C_{t2})(C_{t1} + C_{t2}).$$

而横波声速^[10] $C_t = \sqrt{\frac{3}{4}(C_L^2 - C_B^2)}$, 其中 C_L, C_B 分别为相应的纵波声速和体积声速. 由此可见, 即使考虑 G_p'' 影响与不考虑 G_p'' 的影响计算的 C_L 结果相差不大, 但影响剪切模量的主要参量是横波声速, 经过以上的计算后, 使得计算后的横波声速和剪切模量随压强的变化相差就明显增大, 特别是剪切模量随压力的变化关系, 两者的变化趋势都不一样.

2. 从计算结果的比较可以看到, 考虑 G_p'' 影响的计算结果与不考虑 G_p'' 的计算结果的差别在低压下相差要小些, 而在高压下却相差较大. 这说明, 在低压下, 不考虑 G_p'' 的影响是可以接受的, 但在高压下, 由于两者相差较大, 因此, 必须考虑 G_p'' 的影响, 否则, 将对计算结果带来较大误差, 甚至是本质上的差别.

[1] T. Nicholas, A. M. Rajendran, in High Velocity Impact Dynamics, edited by J. A. Zukas (A Wiley-Interscience Publication John Wiley&Sons Inc, 1990).
 [2] A. Jones, Zukas et al., Translator Z. Y. Zhang et al., Dynamics of Impact (Beijing, 1987) (in Chinese) [A. 乔纳斯, 朱卡斯等著, 张志云等译, 碰撞动力学(兵器工业出版社, 北京, 1987)].

[3] J. X. Gao, Development of Mechanics, 19(1989), 336 (in Chinese) [高举贤, 力学进展, 19(1989), 336].
 [4] W. H. Tang, R. Q. Zhang, An introduction to Equation of State and its Calculation (Changsha, 1999) (in Chinese) [汤文辉, 张若棋, 物态方程理论及计算概论(国防科技大学出版社, 长沙, 1999)].
 [5] F. Birch, J. Geophys. Res., 83(1987), 1257.

- [6] T. S. Duffy , T. J. Ahrens. , *J. Geophys. Res.* , **97**(1992) , 4503. *Physcis* , **9**(1995) , 195 [in Chinese] 王金贵、施卫丰 , 高压物理学报 **9**(1995) , 195] .
- [7] G. K. Straub , Extrapolation of the Shear Modulus to High Compressions , in *Shock Compression of Condensed Matter-1991* , eds. Schmidt S C , Dick R D , J W Forbes , and Tasker(Elsevier Science Publisher B. V. , 1992) , p. 391. [9] D. J. Steinberg , *Int. J. Impact Engng.* , **5**(1987) 603. [10] F. Q. Jing *et al.* , *An Introduction to Experimental Equation of State* (Science Press , Beijing , 1986) [in Chinese] 经福谦等著 , 实验物态方程导引 (科学出版社 , 北京 , 1986)] .
- [8] J. G. Wang , W. F. Shi , *Chinese Journal of High Pressure*

A THEORETICAL METHOD TO OBTAIN THE SECOND ORDER PARTIAL DERIVATIVE OF SHEAR MODULUS WITH RESPECT TO PRESSURE

HUA JING-SONG JIN FU-QIAN TAN HUA

(*Laboratory for Shock Wave and Detonation Physics Research , Institute of Fluid Physics , China Academy of Engineering Physics , Mianyang 621900 , China*)

(Received 15 March 2000 ; revised manuscript received 16 July 2000)

ABSTRACT

This article deduced a theoretical method to obtain the second order partial derivative of shear modulus with respect to pressure G_p'' from the theory of electron structure for crystal materials. We obtained $G_p''|_0 = -0.033 \text{ GPa}^{-1}$ for 93 tungsten alloy , and applied this result in the finite strain theory of Birch - Murnaghan , when comparing the calculated results of $G_p''|_0 = -0.033 \text{ GPa}^{-1}$ with the results of $G_p'' = 0$, we find the results of $G_p'' = 0$ are greater than that of the results of $G_p'' \neq 0$. The difference between them becomes greater when the pressure increases. Therefore , we can conclude that G_p'' cannot be neglected at high pressures.

Keywords : shear modulus , second partial derivative of shear modulus with respect to pressure , tungsten alloy , equation of state , finite strain theory

PACC : 6220